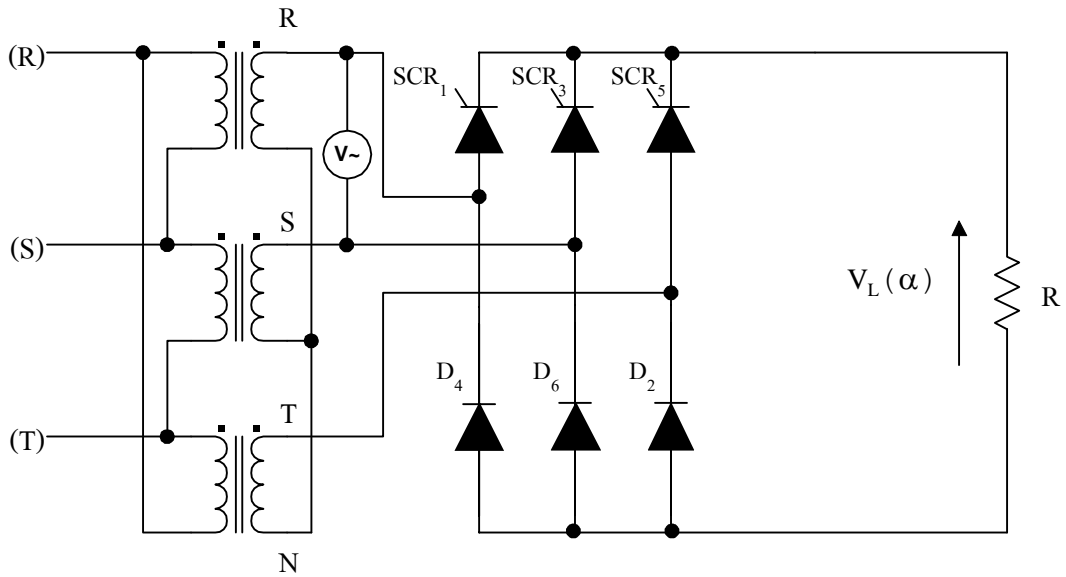


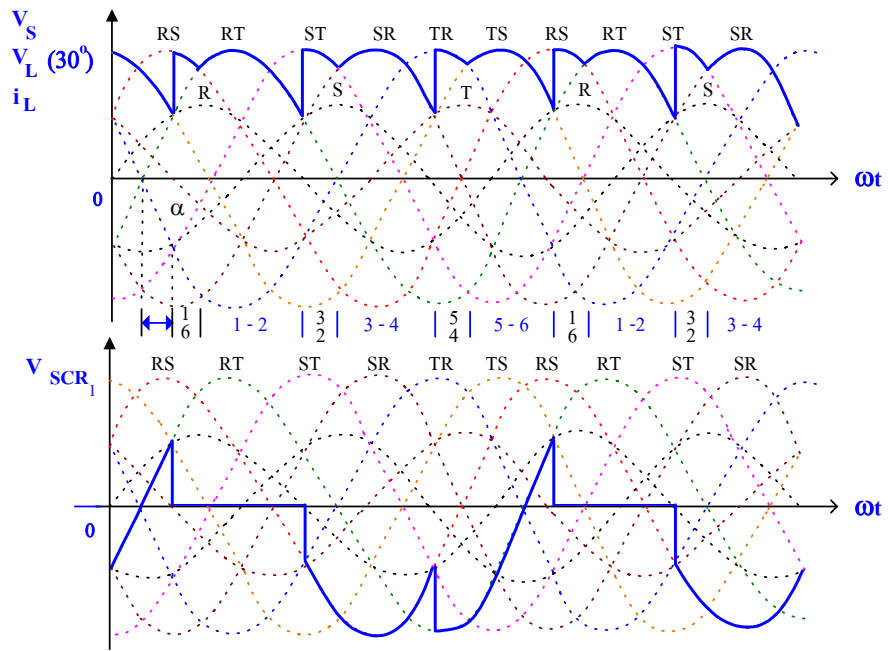
## หน่วยที่ 8

การควบคุมครึ่งเดียวด้วยวงจรถัด

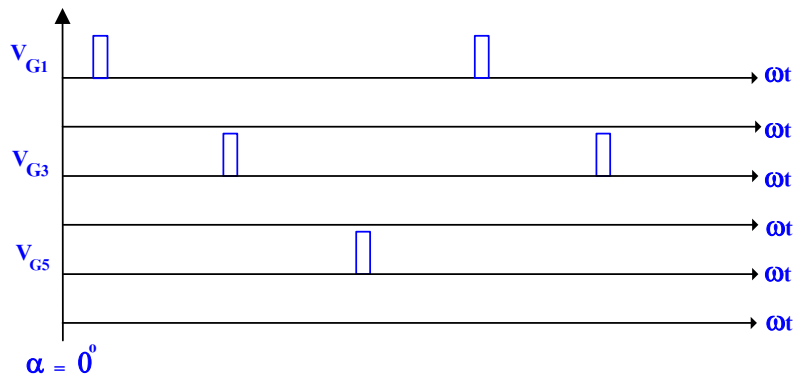
ในระบบสามเฟส



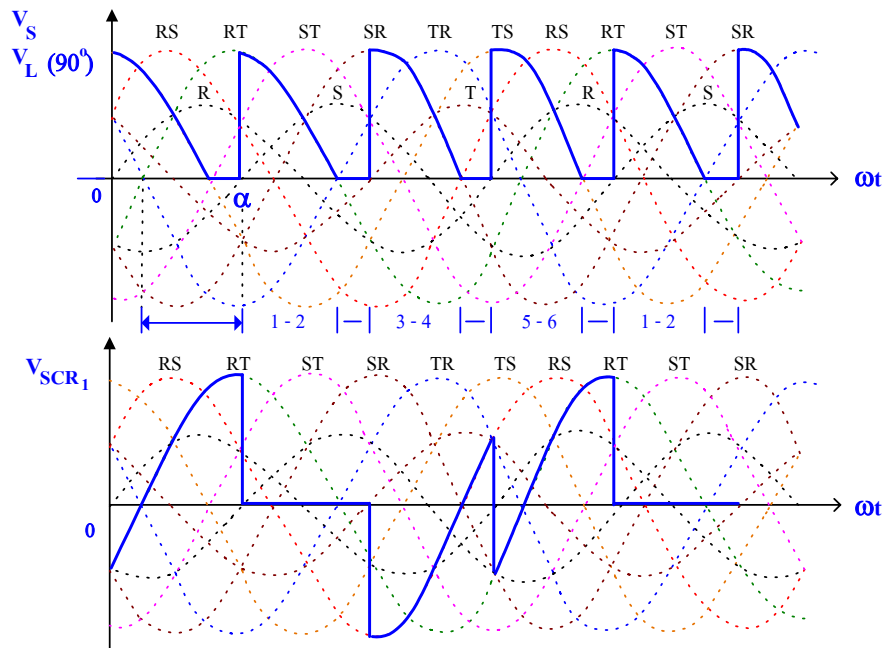
ก) วงจรถัดครึ่งเดียวสามเฟสโหลด ค.ต.ท.



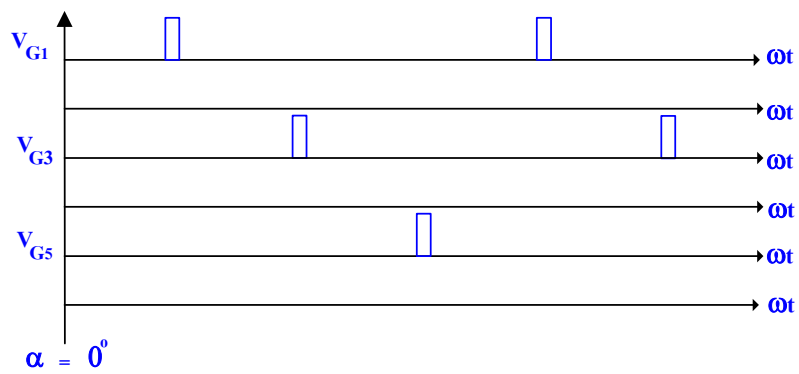
พัลส์จุดชนวน



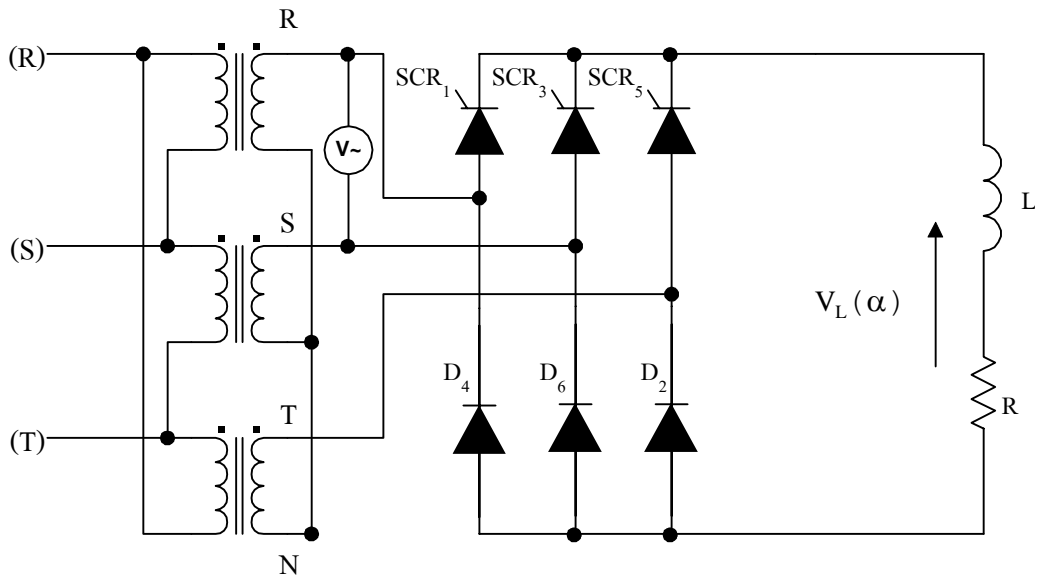
ข) รูปคลื่นแรงดันคั่นคร่อมโหนด ค.ต.ท. และ  $SCR_1$  ที่มุมจุดชนวน  $\alpha = 30$  องศา



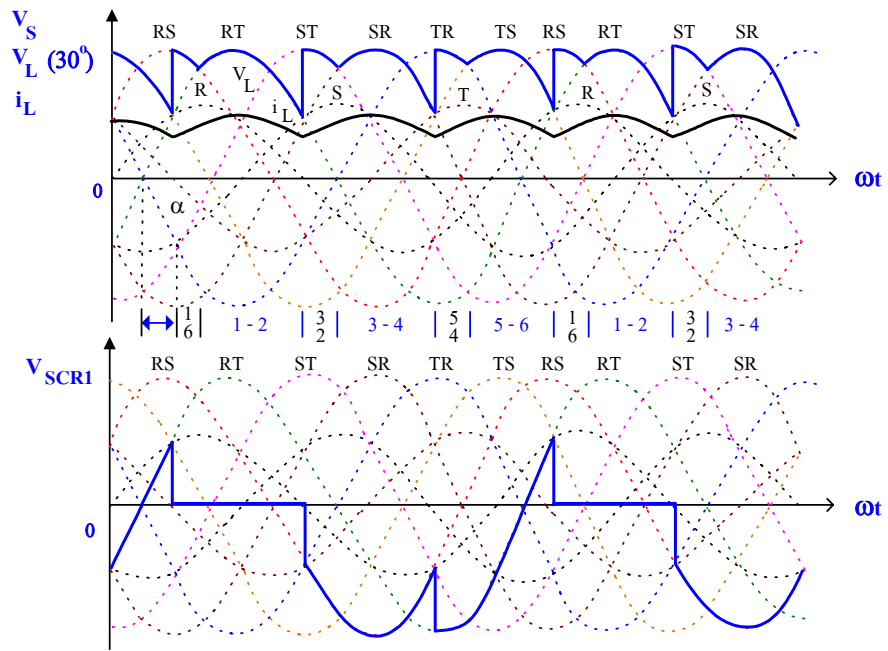
พัลส์จุดชนวน



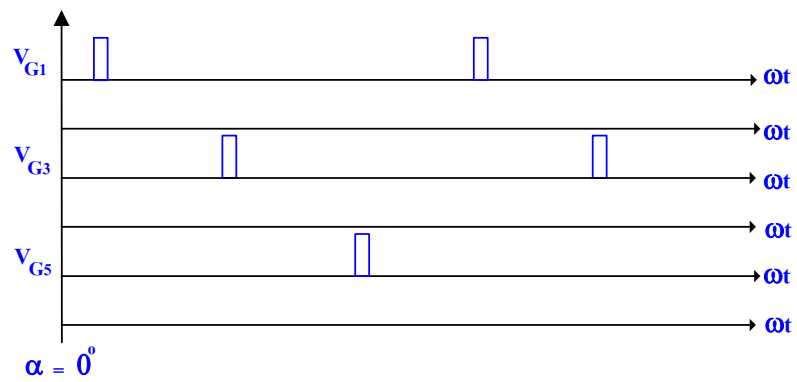
- ค) รูปคลื่นแรงดันคันคร่อมโหนด ค.ต.ท. และ  $SCR_1$  ที่มุมจุดชนวน  $\alpha = 90$  องศา  
**รูปที่ 8.1** การควบคุมครึ่งเดียวด้วยวงจรถบรีดจ์สามเฟสโหนด ค.ต.ท.

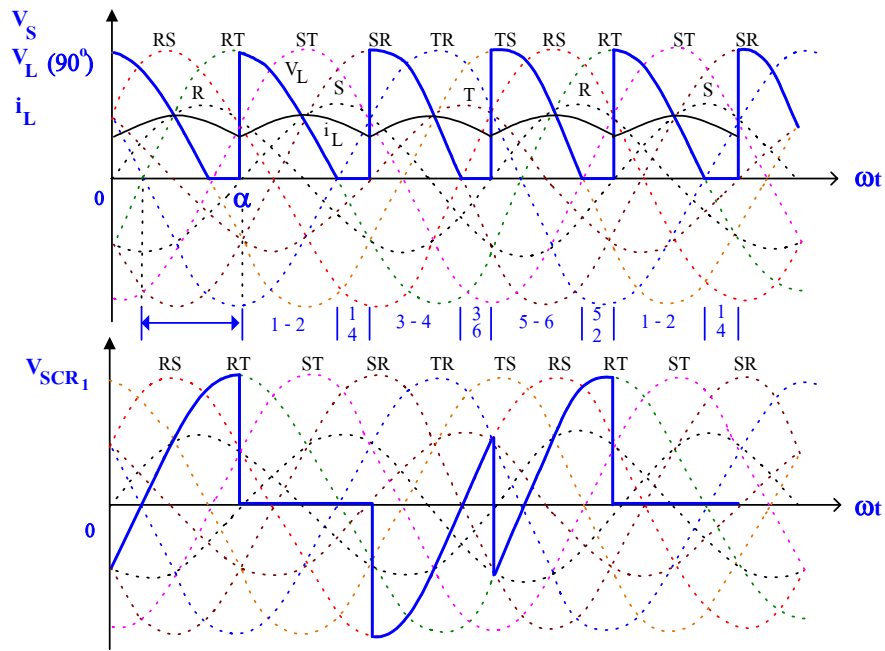


ก) วงจรบริดจ์ควบคุมครึ่งเดียวสามเฟส โหลด RL

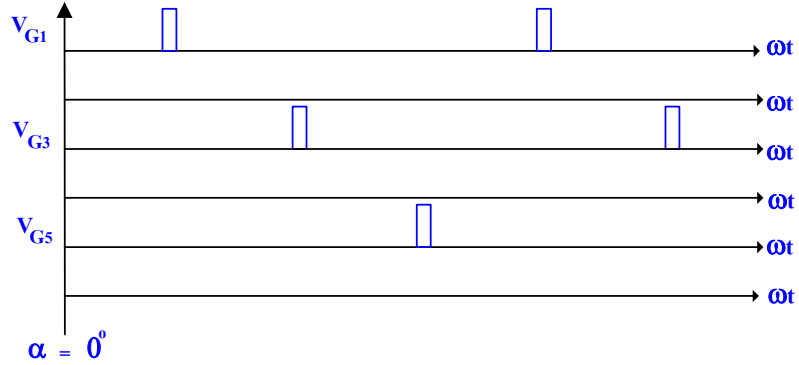


พัลส์จุดชนวน

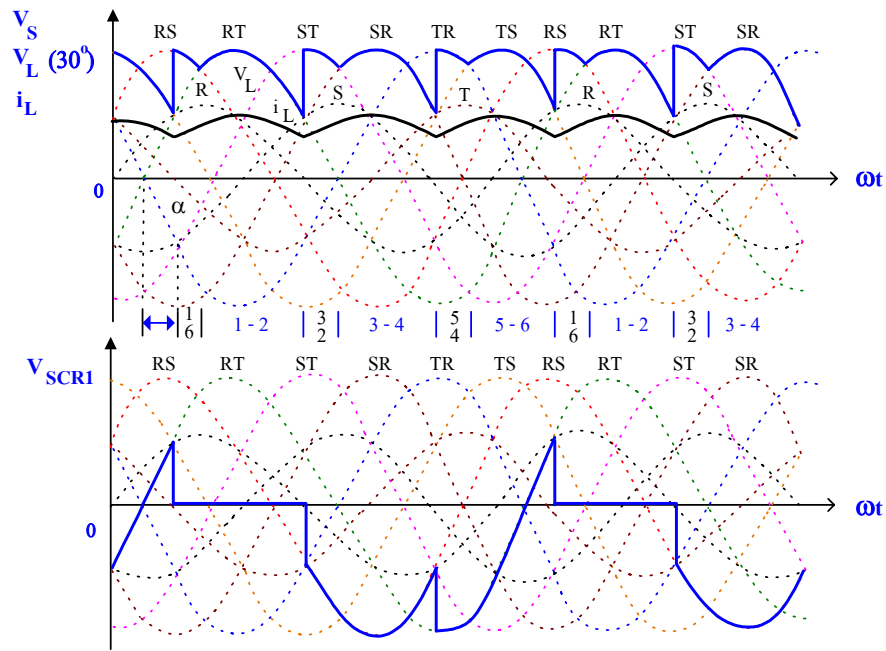




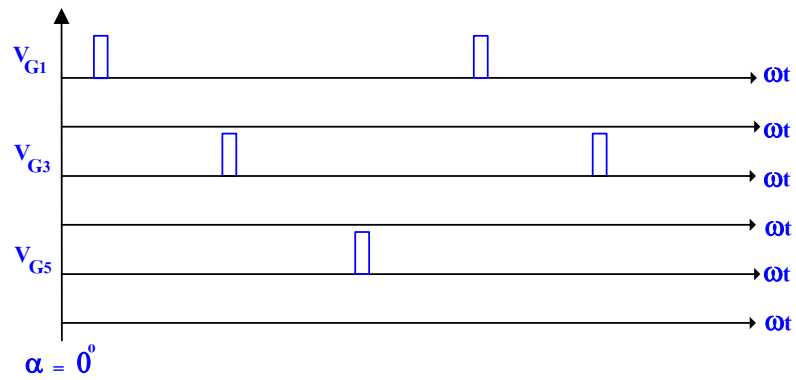
พัลส์จุดชนวน



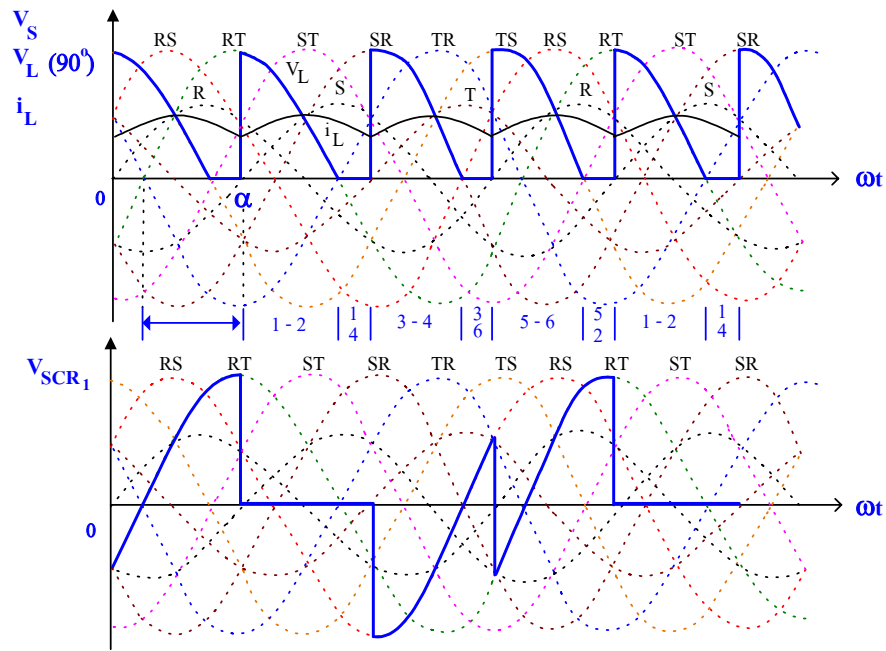
- ค) รูปคลื่นแรงดันคร่อมโหลด RL และกระแสโหลดที่มุมจุดชนวน  $\alpha = 90^\circ$  องศา  
**รูปที่ 8.2** การควบคุมครึ่งเดียวด้วยวงจรถบรีดจ์สามเฟส โหลด RL



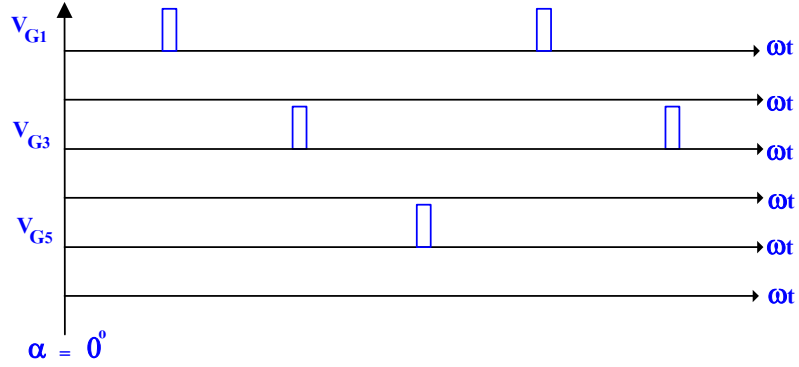
พัลส์จุดชนวน



ข) รูปคลื่นแรงดันคั่นคร่อมโหลด RL และกระแสโหลดที่มุมจุดชนวน  $\alpha = 30$  องศา

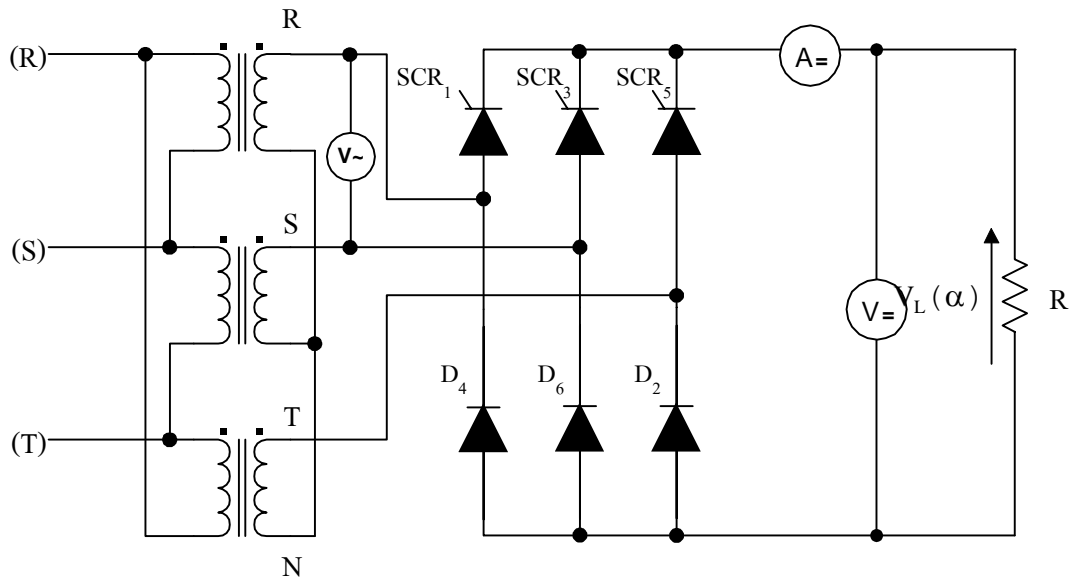


พัลส์จุดชนวน

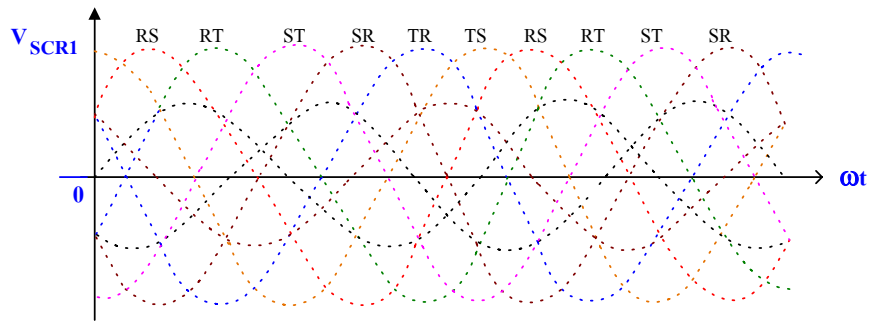
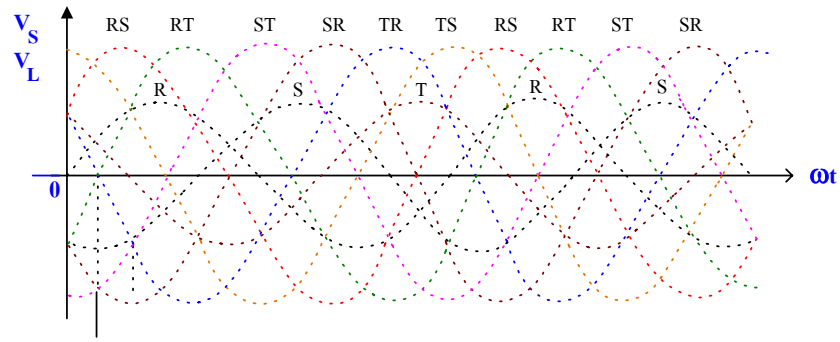


ข) รูปคลื่นแรงดันคร่อมโหลด RL และกระแสโหลดที่มุมจุดชนวน  $\alpha = 90$  องศา





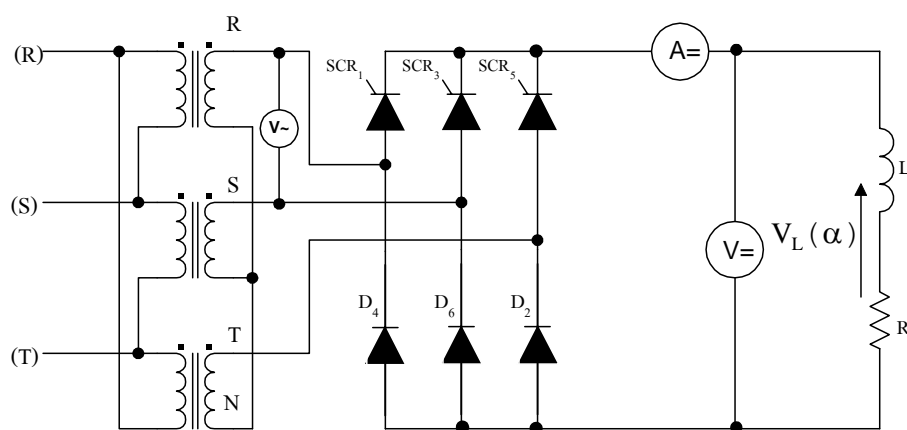
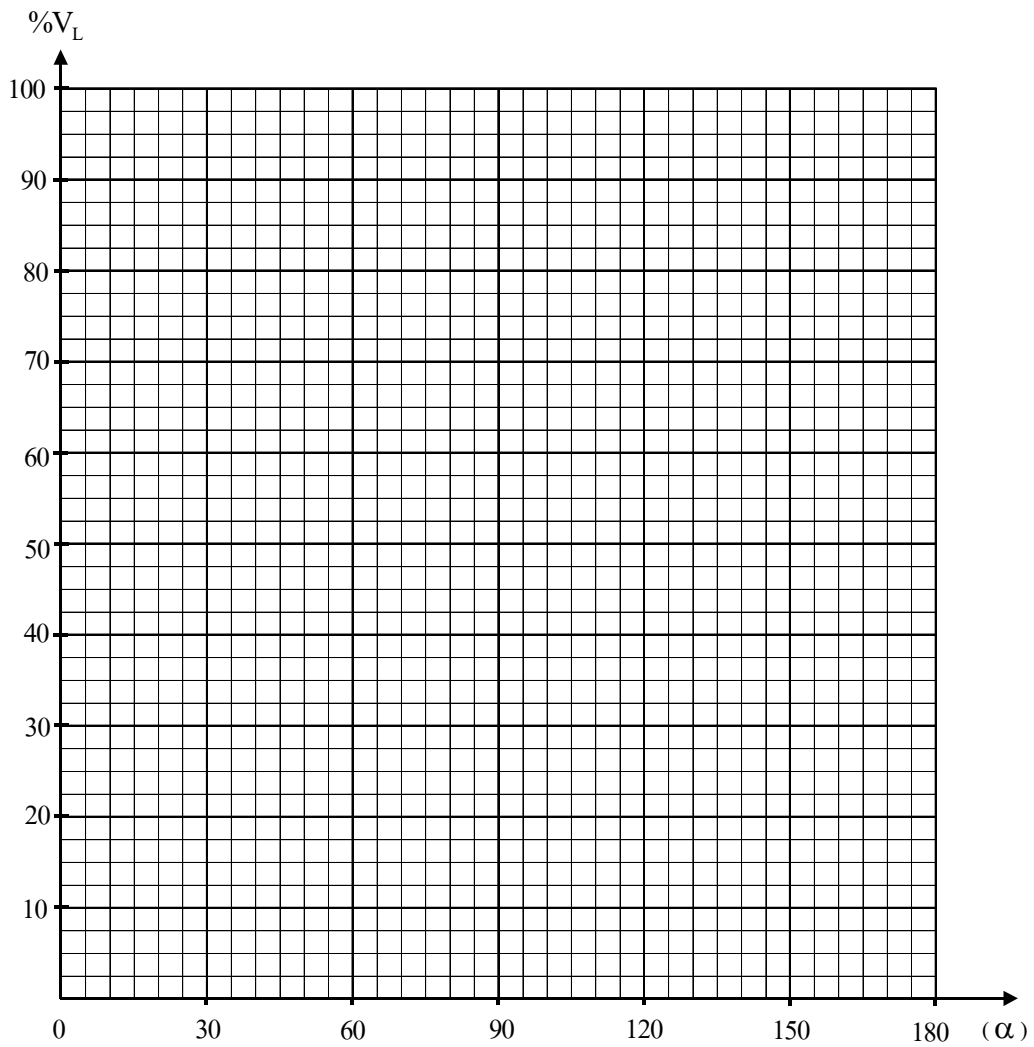
**รูปที่ 8.3** วงจรควบคุมครึ่งคลื่นสามเฟส โหลดเป็นความต้านทาน



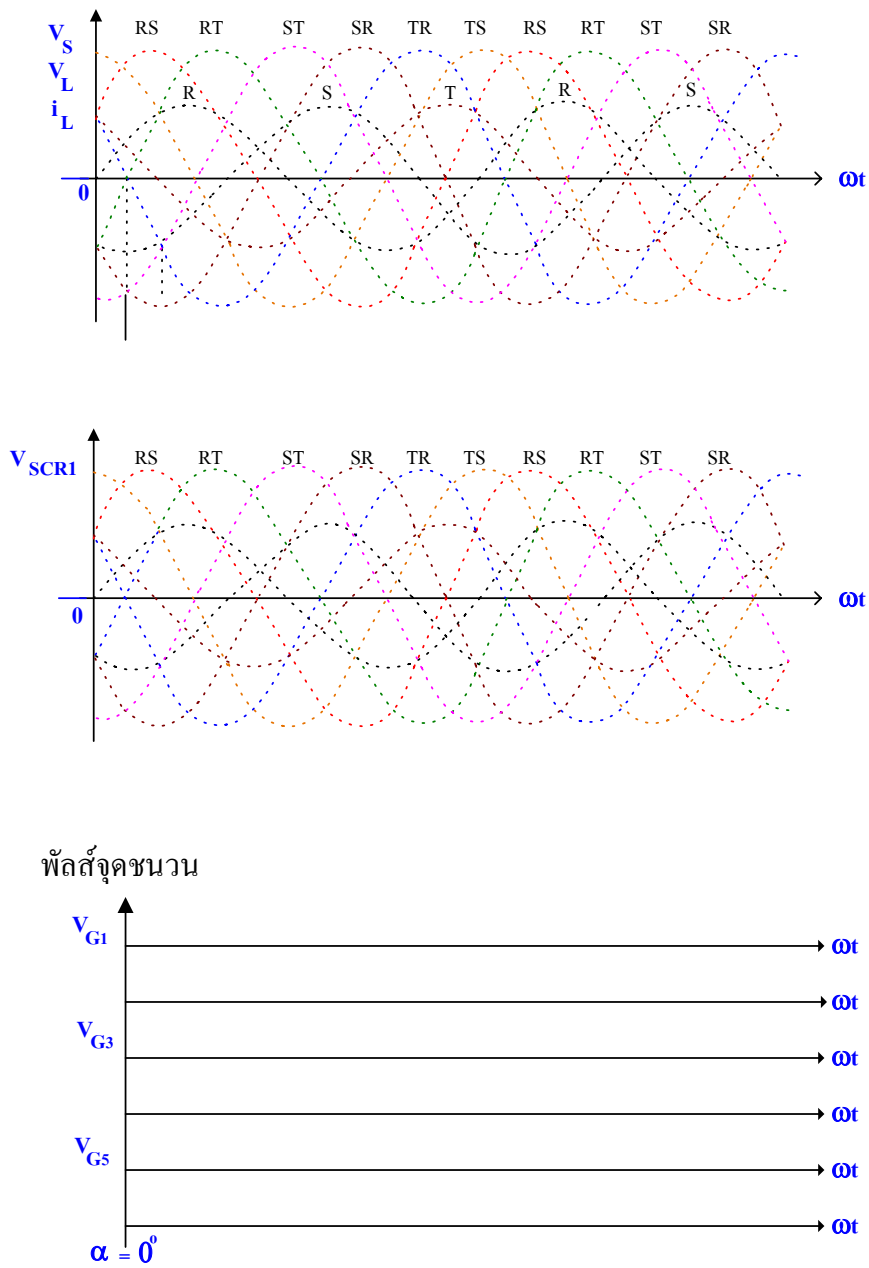
พัลส์จุดชนวน



**รูปที่ 8.4** รูปคลื่นแรงดันคร่อมโหลด R และแอสซีอาร์ ที่มุม  $\alpha = 30^\circ$  ที่ได้จากการทดลอง



**รูปที่ 8.7** วงจรบริดจ์ควบคุมครึ่งเดียวสามเฟส โหลดชนิดเหนี่ยวนำ



**รูปที่ 8.8** รูปคลื่นแรงดันคร่อมโหลด RL กระแสโหลด ที่มุม  $\alpha = 30^\circ$  ที่ได้จากการทดลอง